

れ

## 世界史B, 日本史B, 地理B, 政治・経済 物理, 化学, 生物 問題

はじめに、これを読みなさい。

- この問題冊子は127ページある。ただし、ページ番号のない白紙はページ数に含まない。各科目のページ数は以下のとおりである。必要な科目を選択して解答すること。

世界史B	1ページから18ページ
日本史B	19ページから31ページ
地理B	32ページから57ページ
政治・経済	58ページから74ページ
物理	75ページから90ページ
化学	91ページから106ページ
生物	107ページから127ページ

- 解答用紙に印刷されている受験番号が正しいかどうか、受験票と照合して、確認すること。
- 問題文の中で、国名、地域名、企業名については略称、通称も用いている。
- 監督者の指示にしたがい、解答用紙の氏名欄に氏名を記入すること。次に「解答科目マーク欄」にマークし、「解答科目名記入欄」に解答する科目名を記入すること。マークされていない場合、または複数の科目にマークされている場合は、0点とする。
- 解答は、すべて解答用紙の解答欄にマークすること。所定欄以外のところには何も記入しないこと。
- 1つの解答欄に、2つ以上マークしないこと。
- 解答は、必ず鉛筆またはシャープペンシル(いずれもHB・黒)で記入のこと。
- 訂正する場合は、消しゴムできれいに消し、消しきずを残さないこと。
- 解答用紙は、絶対に汚したり折り曲げたりしないこと。
- 解答用紙はすべて回収するので、持ち帰らず、必ず提出すること。ただし、この問題冊子は、必ず持ち帰ること。
- 試験時間は、60分である。
- マーク記入例

良い例	悪い例
○	○ X ○

# 物理

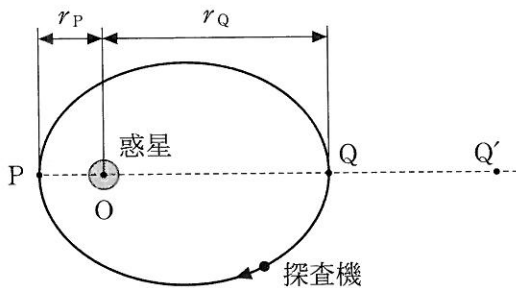
(解答番号 1 ~ 19)

物理の問題は全部で 3 題あります。

すべての問題を解答しなさい。

[ I ] 次の文中の 1 から 6 に最も適するものをそれぞれの解答群から一つ選び、解答用紙の所定の欄にその記号をマークせよ。

質量  $m_0$  の小物体を搭載し、その小物体を含む全質量が  $m$  の惑星探査機がある。この探査機が、図のように質量  $M$  の惑星の中心 ( $O$  点) を一つの焦点とする橿円軌道を運行している。橿円軌道とその長軸との交点のうち、惑星に近い点を  $P$ 、遠い点を  $Q$  として、 $O$  点から  $P$  点までの距離を  $r_P$ 、 $Q$  点までの距離を  $r_Q$  とする。探査機が  $P$ 、 $Q$  点を通過するときの  $O$  点から見た速さは、それぞれ、 $v_P$ 、 $v_Q$  である。なお、万有引力定数を  $G$  とし、他の天体の影響は考えなくてよい。また、質量  $M$  は  $m$  に比べて十分に大きく、惑星は動かないものとする。



- (1) 惑星との万有引力によって探査機がもつ位置エネルギーは、探査機が  $P$  点に来たときは 1 である。ただし、位置エネルギーは無限遠で 0 とする。このエネルギーと探査機が  $P$  点でもつ運動エネルギーとの和が  $P$  点にお

ける探査機の力学的エネルギーである。また、探査機と O 点を結ぶ線分が単位時間に描く面積(面積速度)  $S$  は P 点では  $S = \frac{1}{2} r_P v_P$  である。Q 点においても P 点と同様に力学的エネルギーと面積速度を考えることができる。探査機は惑星からの万有引力しか受けていないので、力学的エネルギーと面積速度  $S$  はともに一定である。このことより  $v_P$  を  $S$  と  $r_P$  で表し、 $v_Q$  を  $S$  と  $r_Q$  で表して力学的エネルギー保存則を使えば、 $S$  を  $G, M, r_P, r_Q$  で表すことができる。その結果は、 $S = \boxed{2}$  となる。

- (2) 楕円の面積は  $\pi ab$  である。ここで  $a$  は楕円の半長軸で  $a = \frac{1}{2}(r_P + r_Q)$ ,  $b$  は半短軸で  $b = \sqrt{r_P r_Q}$  である。探査機が惑星の周りを一周する時間  $T$  を面積速度  $S$  を使って求めて  $G, M, r_P, r_Q$  で表すならば、 $T = \boxed{3}$  となる。

- (3) 楕円軌道を周回していた探査機が P 点に来た瞬間に、搭載していた質量  $m_0$  の小物体を探査機の運動方向と逆向きに打ち出した。打ち出した直後の探査機の速さは、O 点から見て  $v'_P$  となった。また、打ち出した直後的小物体の速さは、探査機から見て  $v_0$  であった。 $v'_P$  を  $v_P, v_0, m, m_0$  を用いて表すと、 $v'_P = \boxed{4}$  で与えられる。

- (4) (3)の結果、探査機の速さ  $v'_P$  が  $v_P$  の  $k$  倍になったとする。このとき探査機の面積速度  $S'$  は  $S' = kS$  となる。これ以後、探査機と小物体の間の万有引力は無視でき、探査機は惑星からの万有引力のみを受けて運動するものとする。探査機の軌道が再び O 点を一つの焦点とする楕円軌道になる場合、今回の軌道上で惑星から一番遠い点 Q' は、線分  $\overline{OQ}$  の延長線上にある。この Q' 点と惑星の中心 O との距離  $r_{Q'}$  を、 $S = \boxed{2}$  の式を使って求め、それを  $k, r_P, r_Q$  で表すと  $r_{Q'} = \boxed{5}$  で与えられる。  
 $k$  の値が大きくなつて  $\boxed{6}$  になると  $r_{Q'}$  は無限大となり、このとき探査機は無限遠に飛び去ってしまう。

### 1 の解答群

- Ⓐ  $G \frac{mM}{2 r_P}$
- Ⓑ  $G \frac{mM}{r_P}$
- Ⓒ  $G \frac{mM}{2 r_P^2}$
- Ⓓ  $G \frac{mM}{r_P^2}$
- Ⓔ  $-G \frac{mM}{2 r_P}$
- Ⓕ  $-G \frac{mM}{r_P}$
- Ⓖ  $-G \frac{mM}{2 r_P^2}$
- Ⓗ  $-G \frac{mM}{r_P^2}$

2 の解答群

- Ⓐ  $\sqrt{\frac{GM}{2}} \sqrt{\frac{r_P r_Q}{r_P + r_Q}}$   
 Ⓑ  $2\sqrt{2GM} \sqrt{\frac{r_P r_Q}{r_P + r_Q}}$   
 Ⓒ  $\sqrt{2GM} \sqrt{\frac{r_P + r_Q}{r_P r_Q}}$

- Ⓑ  $\sqrt{2GM} \sqrt{\frac{r_P r_Q}{r_P + r_Q}}$   
 Ⓑ  $\sqrt{\frac{GM}{2}} \sqrt{\frac{r_P + r_Q}{r_P r_Q}}$   
 Ⓒ  $2\sqrt{2GM} \sqrt{\frac{r_P + r_Q}{r_P r_Q}}$

3 の解答群

- Ⓐ  $\frac{\pi}{\sqrt{GM}} r_P r_Q (r_P + r_Q)^{\frac{1}{2}}$   
 Ⓑ  $\frac{\pi}{2\sqrt{GM}} r_P r_Q (r_P + r_Q)^{\frac{1}{2}}$   
 Ⓒ  $\frac{\pi}{\sqrt{2GM}} (r_P + r_Q)^{\frac{2}{3}}$   
 Ⓓ  $\frac{\pi}{\sqrt{GM}} (r_P + r_Q)^{\frac{3}{2}}$   
 Ⓔ  $\frac{\pi}{2\sqrt{GM}} (r_P + r_Q)^{\frac{3}{2}}$

- Ⓑ  $\frac{\pi}{\sqrt{2GM}} r_P r_Q (r_P + r_Q)^{\frac{1}{2}}$   
 Ⓑ  $\frac{\pi}{\sqrt{GM}} (r_P + r_Q)^{\frac{2}{3}}$   
 Ⓒ  $\frac{\pi}{2\sqrt{GM}} (r_P + r_Q)^{\frac{2}{3}}$   
 Ⓓ  $\frac{\pi}{\sqrt{2GM}} (r_P + r_Q)^{\frac{3}{2}}$

4 の解答群

- Ⓐ  $\frac{mv_P + m_0 v_0}{m + m_0}$   
 Ⓑ  $\frac{mv_P + m_0 v_0}{m - m_0}$   
 Ⓒ  $\frac{mv_P + m_0(v_P - v_0)}{m + m_0}$   
 Ⓓ  $\frac{mv_P + m_0(v_0 - v_P)}{m - m_0}$   
 Ⓔ  $\frac{mv_P + m_0 v_0}{m}$

- Ⓑ  $\frac{mv_P - m_0 v_0}{m + m_0}$   
 Ⓑ  $\frac{mv_P - m_0 v_0}{m - m_0}$   
 Ⓒ  $\frac{mv_P - m_0(v_P - v_0)}{m + m_0}$   
 Ⓓ  $\frac{mv_P - m_0(v_0 - v_P)}{m - m_0}$   
 Ⓔ  $\frac{mv_P - m_0 v_0}{m}$

5 の解答群

Ⓐ  $\frac{r_P r_Q}{k^2 r_P + (k^2 - 1)r_Q}$

Ⓑ  $\frac{k^2 r_P r_Q}{r_P + (k^2 - 1)r_Q}$

Ⓒ  $\frac{k^2 r_P r_Q}{k^2 r_P + (k^2 - 1)r_Q}$

Ⓓ  $\frac{r_P r_Q}{k^2 r_P - (k^2 - 1)r_Q}$

Ⓔ  $\frac{k^2 r_P r_Q}{r_P - (k^2 - 1)r_Q}$

Ⓕ  $\frac{k^2 r_P r_Q}{k^2 r_P - (k^2 - 1)r_Q}$

6 の解答群

Ⓐ  $\sqrt{\frac{r_P}{r_P + r_Q}}$

Ⓑ  $\sqrt{\frac{r_Q}{r_P + r_Q}}$

Ⓒ  $\sqrt{\frac{r_P}{r_Q - r_P}}$

Ⓓ  $\sqrt{\frac{r_Q}{r_Q + r_P}}$

Ⓔ  $\sqrt{\frac{r_P + r_Q}{r_P}}$

Ⓕ  $\sqrt{\frac{r_P + r_Q}{r_Q}}$

Ⓖ  $\sqrt{\frac{r_Q - r_P}{r_P}}$

Ⓗ  $\sqrt{\frac{r_Q - r_P}{r_Q}}$

[II] 次の文中の 7 から 12 に最も適するものをそれぞれの解答群から一つ選び、解答用紙の所定の欄にその記号をマークせよ。

1. 図 1 のように、磁石を周期的に往復運動させて、N 極をコイルに近づけたり遠ざけたりする。このとき、コイルには交流起電力が発生し、これを内部抵抗が十分に大きなオシロスコープで観測した。得られた交流を直流に変換すれば、さまざまな機器の直流電源として使うことができる。ただし、磁石の往復運動の間、磁石とコイルの中心軸は常に一致しており、往復運動の振幅と周期は一定とする。

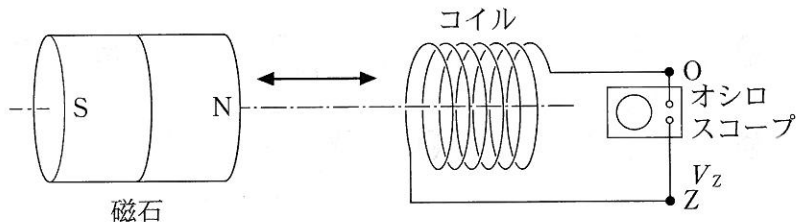


図 1

- (1) 時刻  $t = 0$  にコイルから最も遠い点にあった磁石を、時刻  $t = \frac{T}{2}$  にコイルに最も近づけた後、時刻  $t = T$  にコイルから最も遠い点に戻した。このとき、図 1 の O 点を基準とした Z 点の電位  $V_Z$  は、時間とともに図 7 のように変化した。
- (2) 交流を直流に変換するための最初の段階として、図 2 に示すような電気回路を使うことができる。交流電源は、図 2 の O 点を基準とした P 点の電位が、時間  $t$  に関して  $V_P(t) = V_0 \sin\left(\frac{2\pi t}{T}\right)$  となる電圧を発生するとしよう。 $V_P(t)$  のグラフを図 3 に示した。図 2 の中の「整流素子」はスイッチの作用をし、P 点から Q 点に向かっては電流が抵抗なく流れるが、その逆向きには電流が流れない。図 2 に示した O 点を基準とした Q 点の電位  $V_Q$  は、時間とともに図 8 のように変化する。
- (3) 交流を直流に変換するための次の段階で、図 4 に示すような電気回路を使うことができる。ただし、電流計には内部抵抗はないものとする。この回路

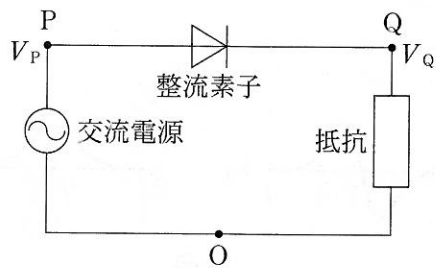


図 2

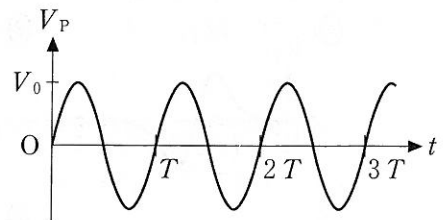


図 3

の動作原理を理解するために、電源には、O点を基準としたA点の電位 $V_A$ が、図5のグラフに示した繰り返しの変化をするように電圧を発生させた。すると、コンデンサーは充電と放電を繰り返したが、抵抗があるために充電、放電には有限の時間がかかった。このとき、図4のO点を基準としたB点の電位 $V_B$ は、時間とともに図9のように変化した。また、電流計に流れる電流 $I$ は、時間とともに図10のように変化した。ただし、電流の正の向きは図4の矢印の向きとする。

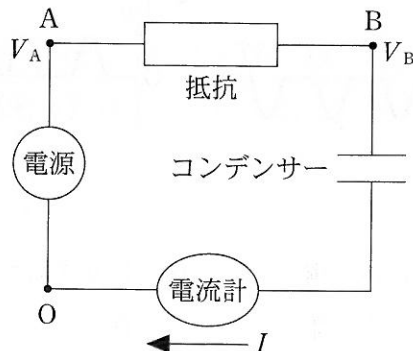


図 4

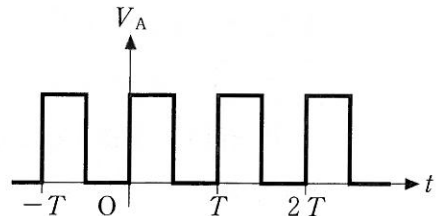
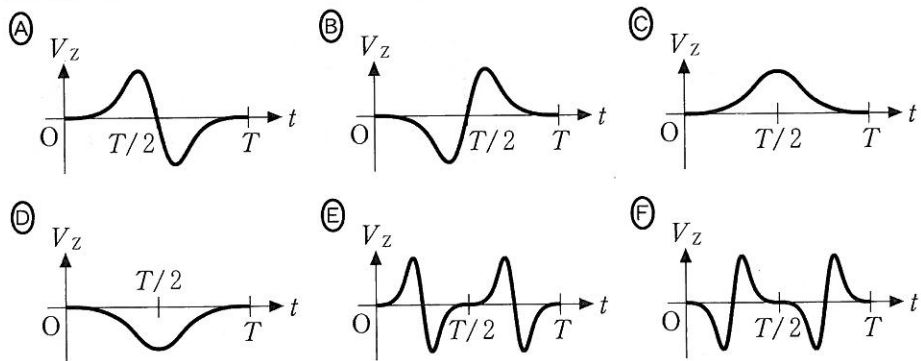
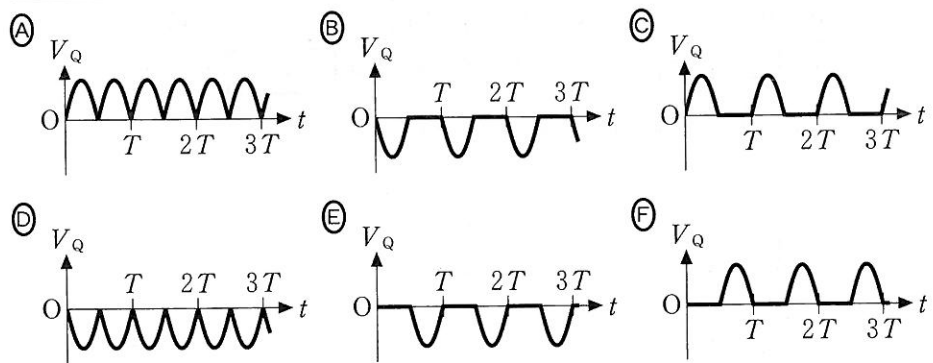


図 5

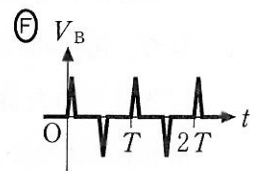
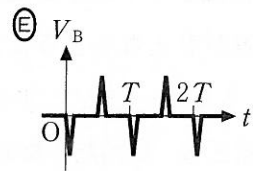
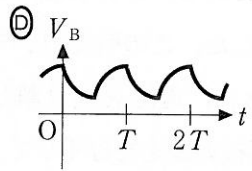
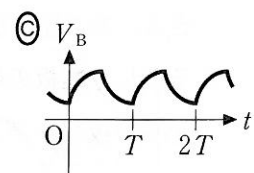
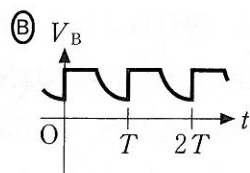
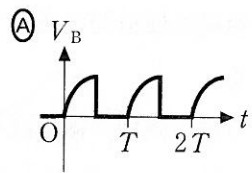
7 の解答群



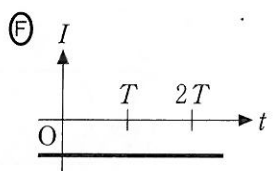
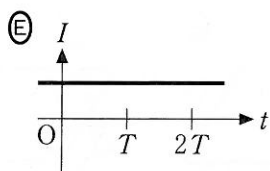
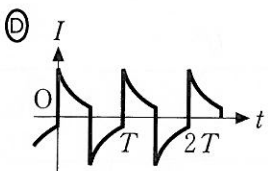
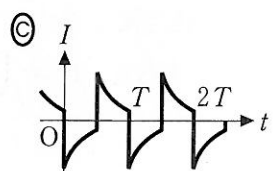
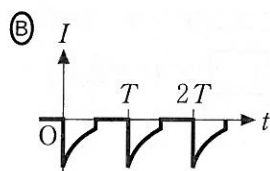
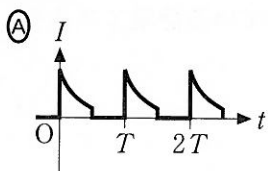
8 の解答群



9 の解答群



10 の解答群



2. 直流電源でコンデンサーを充電すれば、電気的エネルギーを貯蔵することができる。次の(1), (2)では、平行板コンデンサーの電場は極板間の空間で一様であるとし、極板の端付近での電場の乱れは無視する。

(1) 平行板コンデンサーを用意した。図 6(a)のように、両極の極板はそれぞれ 2 枚の薄い金属板を接触させて固定したものである。この状態で電源につなぎ、極板間の電位差が  $V$  となるように充電した。この時にコンデンサーに蓄えられた静電エネルギーを  $U$  とする。次に、電源を切り離してから図 6(b)のように、両極とも、重ねた 2 枚の金属板の固定をはずして、1 枚の金属板をもう 1 枚の金属板に接触させつつゆっくり引き出し、両極板の面積をそれぞれ 2 倍にした。ただし、極板間の間隔は図 6(a)のときと同じである。また、重なった極板を引き出す際に、外部との電荷の出入りはないものとする。このときにコンデンサーに蓄えられている静電エネルギーを  $U'$  すると、 $U' = \boxed{11} \times U$  である。

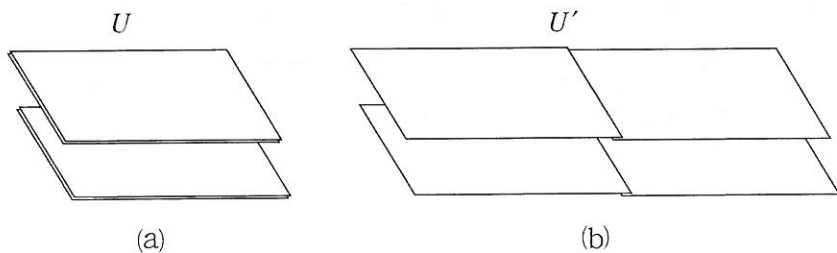


図 6

(2) 同じ電気容量をもつ 2 個の平行板コンデンサー A, B を用意した。一方のコンデンサー A を電源につないで充電してから、電源から切り離した。次に、図 7 のように、この充電したコンデンサー A と、あらかじめ完全に放電させておいたもう一方のコンデンサー B とを、極板どうしを導線でつないで接続した。ただし、一方の極板を接続する導線には抵抗を挿入し、他方の極板は導線だけで直結した。十分に時間がたつと、2 個のコンデンサーそれぞれの極板間の電位差が変化しなくなかった。このとき、コンデンサー A とコンデンサー B に蓄えられている静電エネルギーを  $U_A$  および  $U_B$  とする。 $U_A + U_B$  の大きさは、接続に用いた抵抗の抵抗値と 12。

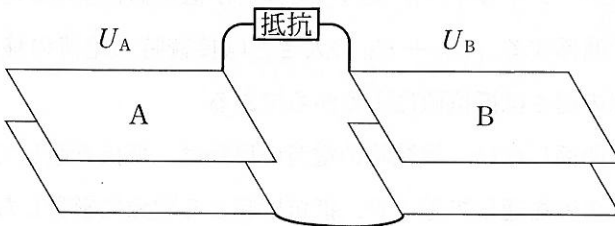


図 7

11 の解答群

Ⓐ  $\frac{1}{8}$

Ⓑ  $\frac{1}{4}$

Ⓒ  $\frac{1}{2}$

Ⓓ 1

Ⓔ 2

Ⓕ 4

Ⓖ 8

12 の解答群

- Ⓐ 関係する。接続時の電荷の移動にともなって抵抗でジュール熱が発生し、エネルギーの一部が失われる。ジュール発熱の総量は抵抗値によるからである
- Ⓑ 関係する。接続時の電荷の移動にともなって抵抗でジュール熱が発生し、エネルギーの一部が失われる。ジュール発熱の総量は抵抗値によらないが、エネルギーが失われる速さが抵抗値によるからである
- Ⓒ 関係する。 $U_A + U_B$  の大きさは接続時の電荷の移動の速さで決まり、その速さは抵抗値によるからである
- Ⓓ 関係しない。接続時の電荷の移動は、抵抗を通してではなく直結した導線のみを通じて起こり、抵抗は起こる現象に影響しないからである
- Ⓔ 関係しない。接続時の電荷の移動にともなって抵抗でジュール熱が発生することはないので、エネルギーの変化は抵抗値には無関係だからである
- Ⓕ 関係しない。接続してから十分に時間がたった後にコンデンサー A と B に蓄えられる電気量は、コンデンサーの電気容量で決まり、抵抗値には無関係だからである

(このページは、計算に使用してよい。)

[III] 次の文中の 13 から 19 に最も適するものをそれぞれの解答群から一つ選び、解答用紙の所定の欄にその記号をマークせよ。

図1のように、右端が閉じられた長さが $L$ のガラス管と、発振器につながれたスピーカー(音源)がある。発振器により音源の振動板を振動させて、任意の振動数の音波を出すことができる。音波がガラス管内の気柱で共鳴するとき、気柱には定常波が生じている。気柱の閉口端では定常波の節となり、開口端では腹となる。ただし、開口端補正是無視できるものとする。

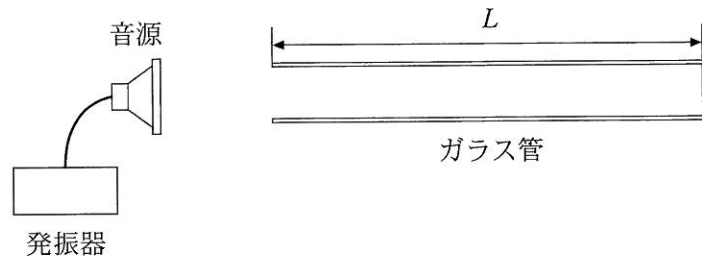


図 1

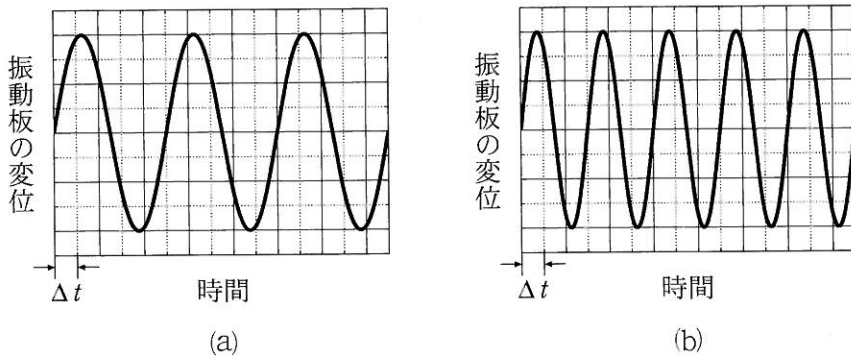


図 2

いま、音源の振動板を図2(a)に示すように振動数  $f_a$  で振動させると、発生した音波が気柱で共鳴して大きな音がした(1回目の共鳴)。次に、音源の振動数を  $f_a$  から少しづつ変化させ、図2(b)に示すように振動数が  $f_b$  になったときに2回目の共鳴が起こった。図2の二つのグラフの横軸の1目盛はどちらも同じ時間間隔  $\Delta t$  を表す。振動数  $f_a$  を  $\Delta t$  で表すと、 $f_a = \boxed{13}$  である。さらに、二つのグラフを比較すると、 $f_b = \boxed{14} \times f_a$  の関係にあることがわかる。

音速を  $V$  とすると、この気柱の  $n$  倍振動の振動数は、 $\boxed{15}$  である。ここで、1倍振動は基本振動を表す。1回目の共鳴のときに  $n_a$  倍振動が生じていたとすると、 $n_a$  を  $f_a$  と  $f_b$  を使って表せば、 $n_a = \boxed{16}$  である。また、1回目の共鳴のときに気柱に生じた定常波の節の数を  $n_a$  で表すと  $\boxed{17}$  となる。

$f_b = \boxed{14} \times f_a$  と  $n_a = \boxed{16}$  の関係から  $n_a$  を求めると、1回目の共鳴は  $\boxed{18}$  倍振動であり、2回目の共鳴は  $\boxed{19}$  倍振動であることがわかる。

### $\boxed{13}$ の解答群

- |                           |                          |                          |                        |
|---------------------------|--------------------------|--------------------------|------------------------|
| Ⓐ 10 $\Delta t$           | Ⓑ 5 $\Delta t$           | Ⓒ $\frac{5 \Delta t}{2}$ | Ⓓ $\Delta t$           |
| Ⓔ $\frac{1}{10 \Delta t}$ | Ⓕ $\frac{1}{5 \Delta t}$ | Ⓖ $\frac{2}{5 \Delta t}$ | Ⓗ $\frac{1}{\Delta t}$ |

### $\boxed{14}$ の解答群

- |                  |                 |                 |                 |
|------------------|-----------------|-----------------|-----------------|
| Ⓐ $\frac{10}{3}$ | Ⓑ 2             | Ⓒ $\frac{5}{3}$ | Ⓓ $\frac{6}{5}$ |
| Ⓔ $\frac{3}{10}$ | Ⓕ $\frac{1}{2}$ | Ⓖ $\frac{3}{5}$ | Ⓗ $\frac{5}{6}$ |

15 の解答群

- Ⓐ  $\frac{nV}{L}$  ( $n = 1, 2, 3, \dots$  正の整数) Ⓑ  $\frac{nV}{2L}$  ( $n = 1, 2, 3, \dots$  正の整数)  
Ⓒ  $\frac{nL}{V}$  ( $n = 1, 2, 3, \dots$  正の整数) Ⓒ  $\frac{2nL}{V}$  ( $n = 1, 2, 3, \dots$  正の整数)  
Ⓔ  $\frac{nV}{4L}$  ( $n = 1, 3, 5, \dots$  正の奇数) Ⓓ  $\frac{nV}{2L}$  ( $n = 1, 3, 5, \dots$  正の奇数)  
Ⓖ  $\frac{4nL}{V}$  ( $n = 1, 3, 5, \dots$  正の奇数) Ⓔ  $\frac{2nL}{V}$  ( $n = 1, 3, 5, \dots$  正の奇数)

16 の解答群

- Ⓐ  $\frac{f_a - f_b}{2f_a}$  Ⓑ  $\frac{f_a - f_b}{f_a}$  Ⓒ  $\frac{2f_a}{f_a - f_b}$  Ⓓ  $\frac{f_a}{f_a - f_b}$   
Ⓔ  $\frac{f_b - f_a}{2f_a}$  Ⓔ  $\frac{f_b - f_a}{f_a}$  Ⓕ  $\frac{2f_a}{f_b - f_a}$  Ⓖ  $\frac{f_a}{f_b - f_a}$

17 の解答群

- Ⓐ  $\frac{n_a + 1}{2}$  Ⓑ  $\frac{n_a}{2}$  Ⓒ  $\frac{n_a - 1}{2}$  Ⓓ  $n_a + 1$   
Ⓔ  $n_a$  Ⓔ  $n_a - 1$  Ⓕ  $2n_a + 1$  Ⓖ  $2n_a$   
①  $2n_a - 1$

18 , 19 の解答群

- Ⓐ 1 Ⓑ 2 Ⓒ 3 Ⓓ 4  
Ⓔ 5 Ⓔ 6 Ⓕ 7 Ⓖ 8

(このページは、計算に使用してよい。)